

采 暖 与 通 风 問 題

副 教 授 科 技 碩 士

M. I. 基 兴 主 編

建 筑 工 程 出 版 社

苏联重工业企業建造部技术处
中央工业建筑科学研究所

采暖与通风問題

(采暖与通风实验室論文集第一册)

姜 岷 山 譯

建筑工程出版社出版

•1958•

內容提要 本書为有关采暖通风工程的一些現實問題的論文集。

論文集中的大部分論文是根据作者在全苏工业建筑科学研究所實驗室中所做的仔細實驗写出的，其余的則为具有独特見解的采暖和通风問題的理論研究性論文。

本書可供采暖通风設備的設計人員和制造著作参考之用。

原本說明

書名 ВОПРОСЫ ОТОПЛЕНИЯ И ВЕНТИЛЯЦИИ

(Труды лаборатории отопления и вентиляции,
сборник №1)

編者 М.И.КИССИН

出版者 ГОСУДАРСТВЕННОЕ ИЗДАТЕЛЬСТВО
СТРОИТЕЛЬНОЙ ЛИТЕРАТУРЫ

出版地点及年份 МОСКВА-1951

采暖与通风問題

姜岷山 譯

1958年12月第1版 1958年12月第1次印刷 2,860册

850×1168 • 1/32 • 50千字 • 印張 27/16 • 插頁 1 • 定价(10)0.44元

建筑工程出版社印刷厂印刷 • 新华书店发行 • 書号: 1014

建筑工程出版社出版 (北京市西郊百万庄)

(北京市書刊出版业营业許可証出字第052号)

目 录

序 言.....	(4)
輻射采暖加热板的計算	М.И.基兴(6)
裝配式采暖炊炉.....	Л.С.鮑尔贊柯(14)
热水采暖和供热系統管道計算的 新資料.....	М.И.基兴和В.М. 茹斯馬諾維奇(20)
矩形弯头的阻力.....	Г.Т. 达达尔邱克(38)
矩形三通的阻力.....	В.Н.达里也夫, Г.Т. 达达尔邱克(43)
“卫生工程”工厂出品的 ГСТМ 型片式 热风器的試驗.....	Л.П.阿那尼克阳(56)
帶横向縫口之等截面风道的均匀配风	В.Н.达里也夫(66)

序　　言

本論文集中所發表的論文系中央工業建築科學研究所實驗室在輻射采暖計算理論、加熱裝置新結構的研究以及通風裝置空氣動力學一些單獨問題的研究方面的著作。

輻射采暖系統中最重要的構件為加熱板。這種加熱板即為內設加熱管的這種或那種圍蔽結構體（天花板、地板或牆）。有關加熱板的計算在我們的文獻里到現在闡述得還不夠明確。

在技術科學碩士 M.I. 基興一篇“輻射采暖加熱板計算”的論文中述及一種加熱板放熱的近似計算法。

1948年實驗室曾對重工業企業建造部衛生工程安裝總局中央衛生工程安裝公司設計處設計的輕型片式熱風器進行了熱工試驗。

工程師 Л.П. 阿那尼克陽的論文述及到這些試驗。

試驗表明，輕型熱風器的金屬熱力強度比普通片式熱風器要大35%。

如果用輕型熱風器代替已出產的熱風器，每年就可節約金屬約6,000噸。

現在在重工業企業建造部衛生工程安裝總局衛生工程配件公司的工廠中已開始成批生產輕型片式熱風器。

在技術科學碩士 Л.С. 鮑爾贊柯的論文中述及到 ЦНИПС 型混凝土采暖爐灶的結構及其熱工試驗的結果。試驗肯定了爐子具有很高的有效系數（85%）。爐子使用壽命長也就證明了它的完全可靠性和熱工性能高。這種爐子可為失熱量等於2,000大卡/時的房間采暖，同時還可代替爐灶。

由於我們設計處開始對製造矩形風管及其異形部件的機床進

行設計，采暖通风實驗室便着手从事为得出矩形弯头和矩形三通阻力系数計算數值的實驗工作。

在工程师 Г.Т. 达达尔邱克一篇“矩形弯头阻力”的論文中列有矩形弯头局部阻力系数的實驗数据。將这些實驗数据和从前应用的摘自国外一些作者之著作的局部阻力系数值相对比，在个别情况下，兩者之間的悬殊达80%。

在技术科学碩士 B.H. 达里也夫和工程师 Г.Т. 达达尔 邱克一篇“矩形三通阻力”的論文中列有支管弯曲成 90° 圓弧的矩形三通之局部阻力系数的新的實驗数据。

在技术科学碩士 B.H. 达里也夫一篇“帶横向縫口之等截面风道的均匀配风”的論文中闡明了帶横向縫口之等截面风道的均匀配风之新計算方法。用實驗的方法初次确定了縫口的出风系数及縫口的旁通系数。

在論文集中还包括技术科学碩士 B.M. 茹斯馬諾維奇的一篇論文“热水采暖系統和供热系統管道計算的新資料”，这篇文章綜合了苏联科学院全苏热工研究所近年来在这方面所做的實驗研究的結果。

中央工业建筑科学研究所相信，在本論文集中所发表的資料將会被广大的采暖通风設計和生产人員在实际工作中使用。

輻射采暖加热板的計算

技术科学硕士 M.I. 基兴

房屋采暖用的加热板之加热面，在其平均温度为已知的情况下，即可得出。加热板表面的温度取决于設于該加热板中的管子之直径，热媒的温度，管子之間的距离，管子上、下复盖层的热阻以及加热板上部和下部的气温。

由此可见，加热板的平均温度及其放热量与很多因素有关，这也就决定了求出必要計算数值的复杂性。

我們介紹一种加热板放热量的近似計算法。現在对示于图 1 的加热板进行研究。

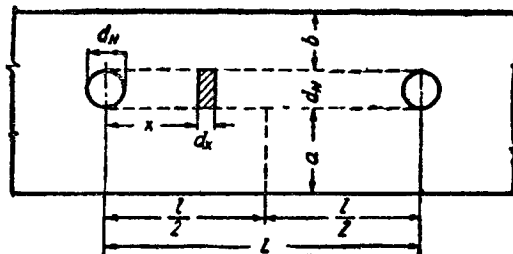


图 1

文字符号采用如下：

d_H ——加热板中的管子外徑(公尺)；

a ——管子下部表面以下的材料层(一层或数层)厚度(公尺)；

b ——管子上部表面以上的材料层(一层或数层)厚度(公尺)；

$\Sigma \frac{a}{\lambda_a}$ 和 $\Sigma \frac{b}{\lambda_a}$ ——分别为下部材料层和上部材料层的热阻(平方公尺·时·度/大卡)，

α_a ——朝向房间的加热板表面之放热系数(大卡/平方公尺·时·度)；

α_b ——朝向上面房间的加热板(上一层楼的地板)表面之放热系数(大卡/平方公尺·时·度)；

λ_c ——內設加热管的材料层之导热系数(大卡/公尺·时·度),

t_a ——采暧房间的气温;

t_b ——上层楼房間的气温;

$t_{1/2}$ ——两个毗邻加热管之間的中心层溫度;

$t^n_{1/2}$ ——两个毗邻加热管之間的中际加热板表面之溫度;

t_0^n ——加热管中心之下的加热板表面溫度;

t_m ——加热板表面平均溫度;

t_e ——进入加热管的水溫;

t_o ——返出加热管的水溫;

$t_{cp} = \frac{t_e + t_o}{2}$ ——热媒(热水)平均溫度;

l ——管子之間的距离(公尺)。

在推导計算公式时, 作下列假設:

1. 由于加热管的直徑很小($1/2'' - 1''$), 故內設加热管的材料层高度之間的溫度設为恆等($t_c = \text{const}$)。

2. 將圓形管子看成为方截面溝道, 其邊为 d_n 。

3. 設管壁溫度等于热媒溫度。

4. 在計算时不考慮加热板中的边际加热管对放热量的影响, 因为加热板中管子很多, 实际上这种影响对計算的准确性不可能起多大作用。

在加热管之間作一高为 d_n 、寬为 dx 和長为 1 公尺的平行六面体; 与加热管之距离为 x 。

作該平行六面体的热平衡方程式。

1. 平行六面体接受加热管的热量:

$$dq_1 = \lambda_c d_n \left(\frac{dt}{dx} \right)_x.$$

2. 平行六面体經過面积为 $d_n \cdot 1$ 之平面, 朝兩管之間中心处的截面方向失去的热量

$$dq_2 = \lambda_c d_n \cdot 1 \left(\frac{dt}{dx} \right)_{x+dx}.$$

3. 平行六面体經過面积为 $dx \cdot 1$ 之上部平面, 朝上层楼的空气方向, 向上失去的热量:

$$dq_3 = dx \cdot 1 \left(\frac{1}{\sum \frac{b}{\lambda_s} + \frac{1}{\alpha_a}} \right) (t_x - t_a).$$

4. 平行六面体經過面积为 $dx \cdot 1$ 的下部平面，朝采暖房間的空气方向，向下失去的热量：

$$dq_4 = dx \cdot 1 \left(\frac{1}{\sum \frac{a}{\lambda_a} + \frac{1}{\alpha_a}} \right) (t_x - t_a).$$

在热稳定状态下，耗热量必須等于吸热量。

热平衡方程式：

$$dq_1 = dq_2 + dq_3 + dq_4$$

或

$$dq_1 - dq_2 = dq_3 + dq_4. \quad (1)$$

在等式(1)中代入各个热流的数值，并令 $\frac{1}{\sum \frac{b}{\lambda_s} + \frac{1}{\alpha_a}}$ 值等于

B_1 , $\frac{1}{\sum \frac{a}{\lambda_a} + \frac{1}{\alpha_a}}$ 值等于 A_1 ,

則得：

$$\begin{aligned} \lambda_c d_n \left(\frac{dt}{dx} \right)_{x+dx} - \lambda_c d_n \left(\frac{dt}{dx} \right)_x &= \\ = dx B_1 (t_x - t_a) + dx A_1 (t_x - t_a) \end{aligned}$$

或

$$\left(\frac{dt}{dx} \right)_{x+dx} - \left(\frac{dt}{dx} \right)_x = \left(\frac{B_1}{\lambda_c d_n} (t_x - t_a) + \frac{A_1}{\lambda_c d_n} (t_x - t_a) \right) dx. \quad (2)$$

令：

$$\frac{A_1}{\lambda_c d_n} = A, \frac{B_1}{\lambda_c d_n} = B,$$

并注意到

$$\left(\frac{dt}{dx} \right)_{x+dx} - \left(\frac{dt}{dx} \right)_x = d \left(\frac{dt}{dx} \right)_x$$

即为 $\frac{dt}{dx}$ 之微分式，则將等式(2)改寫如下：

$$\frac{d^2t}{dx^2} = B(t_x - t_a) + A(t_x - t_a)$$

或

$$\frac{d^2t}{dx^2} - (A+B)t_x = -At_a - Bt_a. \quad (3)$$

公式(3)的第二个微分方程很容易引导成一般形式：

$$t_x = C_1 e^{\sqrt{A+Bx}} + C_2 e^{-\sqrt{A+Bx}} + \frac{At_a + Bt_a}{A+B}, \quad (4)$$

式中 C_1 和 C_2 为积分常数， e 为自然对数的底。

当 $x = \frac{l}{2}$ ，则 $\frac{dt}{dx} = 0$ ，如此则得出关系式

$$C_2 = C_1 e^{\sqrt{A+Bl}}.$$

当 $x = 0$ ，则 $t = t_{mpy\sigma u} = t_{cp}$ 。

令方程式(4)中的 $\frac{At_a + Bt_a}{A+B}$ 项等于 K ，则可写出：

$$t = t_{cp} = C_1 + C_2 + K,$$

由此得出

$$C_1 = \frac{t_{cp} - K}{1 + e^{\sqrt{A+Bl}}}.$$

将所得之 C_1 和 C_2 值代入公式(4)，并经过一系列的基本变动以后，则得：

$$t_x = \frac{t_{cp} - K}{1 + e^{\sqrt{A+Bl}}} \left(e^{\sqrt{A+Bx}} + \frac{e^{\sqrt{A+Bl}}}{e^{\sqrt{A+Bx}}} \right) + K. \quad (5)$$

用最后一个公式可以计算出在与加热管任何距离上的温度。

当 $x = \frac{l}{2}$ ，即在管间距离的中心时，公式(5)则具有下述形

式：

$$t_{\frac{l}{2}} = \frac{t_{cp} - K}{1 + e^{\sqrt{A+Bl}}} 2 e^{\sqrt{AB} \frac{l}{2}} + K. \quad (6)$$

用公式(6)可以计算出内设加热管的板层中和管间距离的中心处之温度。

但是，为了計算加热板的必需面积，我們所需知道的不是內設加热管的板层中之温度，而是加热板表面的温度($t_{i/2}$ 和 t_0^n)。加热板管間表面的温度用下列形式的热平衡方程式很容易求出：

$$\frac{1}{\sum \frac{\lambda_a}{\lambda_a}} (t_{i/2}^n - t_0^n) = \alpha_a (t_{i/2}^n - t_a),$$

由此得出

$$t_{i/2}^n = \frac{\sum \frac{\lambda_a}{a} t_{i/2} + \alpha_a t_a}{\sum \frac{\lambda_a}{a} + \alpha_a} \quad (7)$$

同样亦可写出为計算加热板管下表面温度所需之热平衡方程式：

$$(t_{cp} - t_0^n) \sum \frac{\lambda_a}{a} = (t^n - t_a) \alpha_a,$$

由此得出

$$t_0^n = \frac{t_{cp} \sum \frac{\lambda_a}{a} + \alpha_a t_a}{\sum \frac{\lambda_a}{a} + \alpha_a} \quad (8)$$

若已知 t_0^n 和 $t_{i/2}^n$ ，則可求出加热板之平均温度：

$$t_m = \frac{\int t_x^n dx}{l} \quad (9)$$

在上述等式中，对加热板表面來說， t_x^n 須引导成下列抛物綫形式才为适合：

$$t_x^n = \frac{4}{l^2} (t_0^n - t_{i/2}^n) \left(x - \frac{l}{2} \right)^2 + t_{i/2}^n,$$

經過代入并將公式(9)用由 0 到 l 求解之后，則得：

$$t_m = t_{i/2}^n + \frac{1}{3} (t_0^n - t_{i/2}^n), \quad (10)$$

最后一个方程式为求加热板平均温度的最終方程式。

公式(6)中之 K 值，对指定的加热板結構來說，仅取决于

加热板之上和加热板之下的气温，因此，它可以叫做加热板的温度因素。

加热板平均温度的计算程序如下：

1) 计算下列数值：

$$A = \frac{1}{\lambda_c d_n} \left(\sum \frac{a}{\lambda_a} + \frac{1}{\alpha_a} \right) \text{ 和 } B = \frac{1}{\lambda_c d_n} \left(\sum \frac{b}{\lambda_a} + \frac{1}{\alpha_a} \right);$$

2) 计算指定结构的温度因素：

$$K = \frac{A t_a + B t_b}{A + B};$$

3) 计算值 $\sqrt{A + B}$ ；

4) 将求得之数值代入公式(6)，求 $t_{l/2}$ 值；

5) 按公式(7)和(8)求 t_0^n 和 $t_{l/2}^n$ ；

6) 按公式(10)求加热板的平均温度 t_m 。

加热板加热表面平均温度的计算示例

I 热媒平均温度 $t_{cp}=55^\circ$ 。

在楼板中(图2)设排管散热器，管径为 $1/2''$ ，管间距 $l=150$ 公厘。

上层楼的气温 $t_a=15^\circ$ ，下层楼的气温 $t_b=15^\circ$

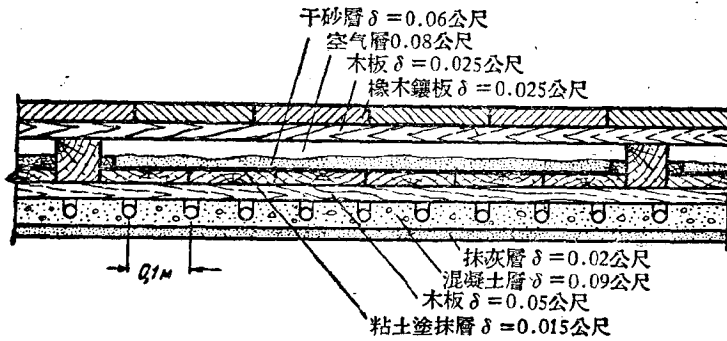


图 2

首先按公式：

$$\frac{t_{cp}-K}{1+e^{\sqrt{A+B} l/2}} = \frac{2e^{\sqrt{A+B} l/2}}{1+e^{\sqrt{A+B} l/2}} + K,$$

求管間的混凝土溫度。

$$A = \frac{1}{\left(\sum \frac{a}{\lambda_1} + \frac{1}{\alpha_B} \right) \lambda_C d_H} = \frac{1}{\left(\frac{0.02}{1.1} + \frac{0.02}{0.6} + \frac{1}{7} \right) 1.1 \times 0.021} = 206,$$

式中 $d_H = 0.021$ 公尺——排管加熱器管子外徑；

$\lambda_C = 1.1$ 大卡/公尺·時·度——混凝土導熱系數；

$\lambda = 0.60$ 大卡/公尺·時·度——抹灰層導熱系數；

$$B = \frac{1}{\lambda_C d_H \left(\sum \frac{b}{\lambda_2} + \frac{1}{\alpha_H} \right)} = \frac{1}{1.1 \times 0.021 \left(\frac{0.05}{1.1} + \frac{0.05}{0.15} + \frac{0.015}{0.6} + \frac{0.06}{0.75} + 0.18 + \frac{0.025}{0.15} + \frac{0.025}{0.20} + 0.125 \right)} \approx 40.$$

空氣間層的熱阻為 0.18 平方公尺·時·度/大卡；

木料（松樹，針櫟）的導熱系數 $\lambda = 0.15$ ，橡木的導熱系數 $\lambda = 0.2$ 大卡/公尺·時·度；

粘土塗抹層傳熱系數 $\lambda = 0.6$ ，干砂導熱系數 $\lambda = 0.75$ 大卡/公尺·時·度；

$$K = \frac{A t_a + B t_{ea}}{A + B} = \frac{206 \times 15 + 40 \times 15}{206 + 40} = 15.0,$$

$$\sqrt{A + B} = \sqrt{206 + 40} = 14.4,$$

$$\frac{55 - 15}{2} = \frac{55 - 15}{1 + 2.72^{14.4 \times 0.15}} - 2 \times 2.72^{14.4 \times 0.075} + 15.0 = 40^\circ.$$

蛇形管以下的加熱表面上之點的熱平衡方程式擬出如下：

$$k_a(t_{cp} - t_0^*) = \alpha_0(t_0^* - t_a),$$

式中 k_a ——材料層傳熱系數（大卡/平方公尺·時·度）；

$$k_a = \frac{1}{\frac{0.02}{1.1} + \frac{0.02}{0.6}} = 19.5,$$

$\alpha_0 = 7.0$ 大卡/平方公尺·時·度——加熱面對下層樓空氣的放熱系數。

將這些數值代入熱平衡方程式，則得：

$$19.5(55 - t_0^*) = 7.0(t_0^* - 15.0),$$

$$t_0^* = 44.3^\circ.$$

求管間距離中心處的加熱面溫度。

為此，特擬出第二個熱平衡方程式：

$$19.5(40 - t_{i/2}^n) = 7.0(t_{i/2}^n - 15.0),$$

$$t_{i/2}^n = 33.6^\circ.$$

按方程式(10)求加热面的平均溫度:

$$t_m = \frac{t_0^n + \frac{1}{3}(t_0^n - t_{i/2}^n)}{2} = 33.6 + \frac{1}{3}(44.3 - 33.6) = 37.25^\circ.$$

II 計算的条件同上，但管間距离 $l=100$ 公厘

公式中的 A 和 B 之值不变:

$$A=206, B=40, K=15.0, \sqrt{A+B}=14.4,$$

$$t_{i/2}^n = \frac{55-15}{1+2.72^{14.4 \times 0.1}} \times 2 \times 2.72^{14.4 \times 0.05} + 15.0 = 46.4^\circ$$

排管放热器管子以下的加热面溫度不变 ($t_0^n = 44.3^\circ$)，

$$K_a(t_{i/2}^n - t_{i/2}^n) = a_0(t_{i/2}^n - 15),$$

$$19.5(46.4 - t_{i/2}^n) = 7.0(t_{i/2}^n - 15),$$

$$t_{i/2}^n = 37.5^\circ.$$

$$t_m = 37.5 + \frac{1}{3}(44.3 - 37.5) = 39.76^\circ.$$

III 已知热媒平均溫度为 60° ，管徑为 $\frac{1}{2}$ " 和管間距离 $l=100$ 公厘，未加热面平均溫度:

$$A=206, B=40, K=15.0, \sqrt{A+B}=14.4,$$

$$t_{i/2}^n = \frac{60-15}{1+2.62^{14.4 \times 0.1}} \times 2 \times 2.72^{14.4 \times 0.05} + 15 = 50.2^\circ,$$

$$19.5(60 - t_0^n) = 7.0(t_0^n - 15), t_0^n = 48^\circ,$$

$$19.5(50.2 - t_{i/2}^n) = 7.0(t_{i/2}^n - 15), t_{i/2}^n = 41^\circ,$$

$$t_m = 43.35^\circ.$$

上述求加热板深厚处及其表面的溫度的方法曾經過實驗檢查。

被檢查的裝置由 3 塊厚 150 公厘，面積約 7 平方公尺和高 3 公尺的房間取暖用的天棚板組成。在天棚板中，距朝向取暖房間的表面 40 公厘深處，設置管徑為 $\frac{1}{2}$ "， $\frac{3}{4}$ " 和 1" 的排管放熱器。管間距離采用如下：對其中所設的管子之直徑為 $\frac{1}{2}$ " 的天棚板來說——100 公厘，管徑為 $\frac{3}{4}$ " 者——115 公厘，管徑為 1" 者——130 公厘。天棚板用熱水加熱，而水溫的變化範圍很廣——由 30° 到 90° 。每塊天棚板均有獨立的開關。用置於天棚板深厚處并固定

于其表面上的銅-康銅溫差電偶測定溫度。經過多次試驗所得出之溫度場的計算數據和實驗數據的對比，表明了結果的收斂度良好。在天棚板個別點上，試驗溫度和計算溫度的差別不超過 $1.5 \sim 2^\circ$ 。加熱板表面的計算平均溫度和實驗平均溫度的差別亦在此範圍以內。

由此可以斷言，本文中所闡述的計算加熱板平均溫度的方法在設計輻射采暖系統的實際工作中採用，是完全適合的。

裝配式采暖爐

技术科学碩士 П.С. 鮑爾贊柯

多少年來，爐的結構經過各式各樣的更改、其目的在於提高爐熱工及其他指標。

聯合爐是普通爐經過改良的一種型式。這種型式的爐子由普通爐和取暖器組成。取暖器緊靠爐側旁設置成屏板樣式，并具有垂直煙道；或者設于爐子的上部（在爐之上）而具有水平煙道。

該取暖器的用途是：利用由爐排出的高溫爐氣的熱來供暖。

上述型式的聯合爐之主要缺點如下：1)取暖器熱度微小，為了使其加熱，需要在爐里增添燃料，加強燃燒；2)燃燒終結後，風櫃迅速冷卻；3)外表面的放熱量不大；4)爐子笨重，占地過多。

帶爐之聯合爐的結構，在消除缺點、使其適合於日常生活條件和求得高熱工指標的結構方面得到了發展和改進。

由於逐漸改善的結果，現在擬制出一種經過改進的聯合爐的型式——采暖爐，這種采暖爐已得到廣泛的使用。

采暖爐包括有爐和采暖爐，其優點亦在於此，特別是對小型住宅來說甚為適用。

采暖炊炉之特点为：风櫃²（图1）不和燃燒室^a并列，而設于炊炉之上。炉子的烟道系統非常簡單。由普通燃燒室出来的炉烟，加热炊炉后，借助于側部烟道⁶引至风櫃底部，由此分为两个支流，順风櫃側部上升，并在上部汇合，然后，沿烟道⁸在炉子上部又作一回轉之后，即引入烟囱^c。风櫃后侧靠烟罩^b加热，烟气由側部垂直烟道⁶引出时即进入該烟罩內。

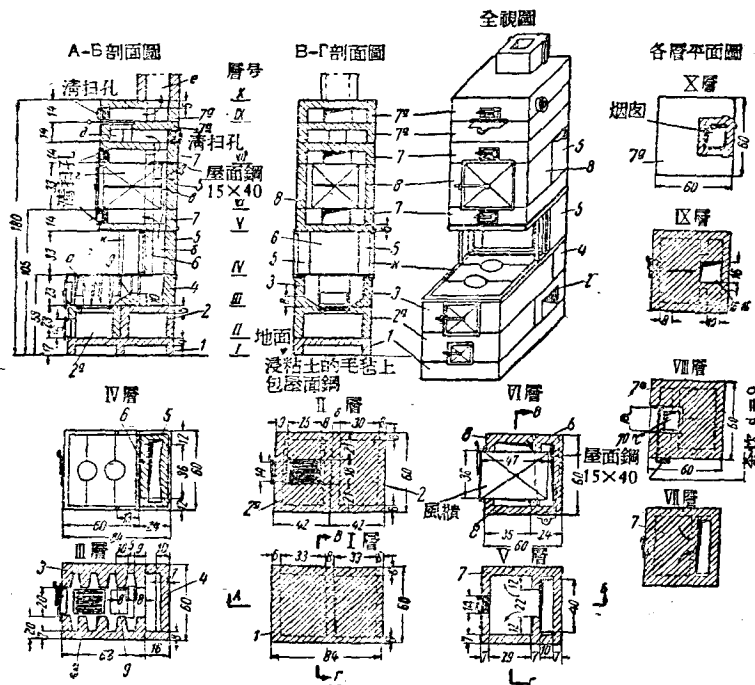


图1 装配式采暖炊炉

帶炊炉的火室和設于炊炉之上的风櫃之總結構構成了幅面很大的以炉烟加热的外表面。

此种型式的联合炉一般用磚砌制。作者設計出一种能由工厂大批生产的、由混凝土預制件裝配成的采暖炊炉結構（參見图1和图2）。

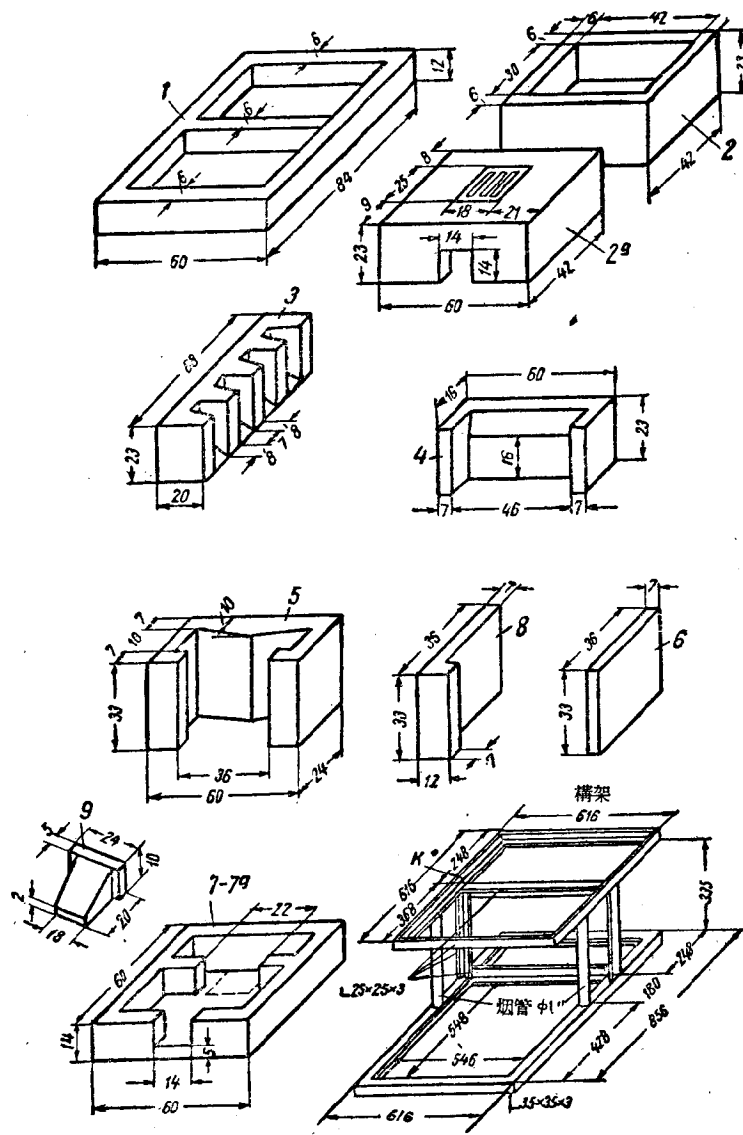


图2 骨架的装配式砌块全视图